



**Universidade do Minho**  
Escola de Ciências

Departamento de Matemática

## Equações Diferenciais Ordinárias

- ➡ Problemas de Valores Iniciais
- ➡ Problemas de Valores de Fronteira

## PROBLEMAS DE VALORES INICIAIS



## PVI de ordem superior a 1

### ► Ordem 2:

$$y'' + f(x)y' + g(x)y = h(x) \longrightarrow \begin{cases} y' = u \\ u' = h(x) - g(x)y - f(x)u \end{cases}$$

$$y'' = \underbrace{F(x, y, y')}_{h(x) - f(x)y' - g(x)y} \longrightarrow \underbrace{\mathbf{z}' = \mathbf{F}(x, \mathbf{z})}_{\mathbf{z} = (\underbrace{y, u}_{\mathbf{z}}); \mathbf{F}(x, \mathbf{z}) = (\underbrace{u, h(x) - g(x)y - f(x)u}_{\mathbf{F}})}$$

### ► Ordem $k$ :

$$y^{(k)} = F(x, y', y'', \dots, y^{(k-1)}) \xrightarrow{z_i = y^{(i-1)}} \mathbf{z}' = \mathbf{F}(x, \mathbf{z})$$

### Exemplo: Equação de van der Pol

$$y'' - \mu(1 - y^2)y' + y = 0$$

$$y(a) = \alpha \quad y'(a) = \beta$$

Reescrever como

$$\mathbf{z}' = \begin{bmatrix} y \\ u \end{bmatrix}' = \begin{bmatrix} u \\ \mu(1 - y^2)u - y \end{bmatrix} \quad \mathbf{z}_a = \begin{bmatrix} \alpha \\ \beta \end{bmatrix}$$

## Existência e unicidade de solução

### Teorema

*Seja  $f(x, y)$  definida e contínua para todos os pontos  $(x, y)$  tais que  $a \leq x \leq b$ ,  $y \in \mathbb{R}$  ( $a$  e  $b$  finitos).*

*Se  $f$  satisfaz uma condição de Lipschitz relativamente à segunda variável, i.e., se existe uma constante  $0 < L < \infty$  tal que*

$$|f(x, y_1) - f(x, y_2)| \leq L|y_1 - y_2|,$$

*para  $a \leq x \leq b$  e quaisquer  $y_1, y_2 \in \mathbb{R}$ , então, dado qualquer valor  $\alpha$  existe uma e uma só solução do problema*

$$y'(x) = f(x, y), \quad y(a) = \alpha.$$

## Métodos de variável discreta

**Ideia:** como não conseguimos determinar  $y(x)$  para todo o  $x \in [a, b]$ , calculamos **aproximações**  $y_k$  para os valores  $y(x_k)$  num **conjunto discreto de pontos**  $(x_k)_{k=0}^N$ , nesse intervalo. Por simplificação, consideramos pontos equidistantes, i.e.,  $x_k = a + kh$ ;  $k = 0, 1, \dots, N$ , onde o **passo**  $h$  é dado por

$$h = \frac{b - a}{N},$$

para um determinado inteiro  $N$ . O valor inicial dá-nos

$$y_0 = y(x_0) = y(a) = \alpha.$$

A ideia é tentar, a partir deste valor, determinar  $y_1$  como aproximação para  $y(x_1)$ ,  $y_2$  como aproximação para  $y(x_2)$  etc.

Os métodos que determinam aproximações para a solução do problema num conjunto discreto de pontos  $(x_k)$  da variável independente são chamados **métodos de variável discreta**.

# Métodos de passo único

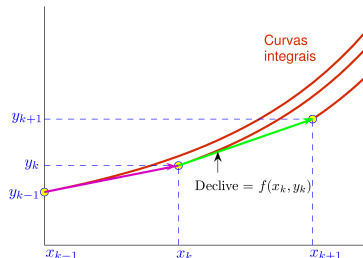
## Método de Euler

$$y_{k+1} = y_k + hf(x_k, y_k); k = 0, 1, \dots, N - 1,$$

$$y_0 = \alpha.$$

### Geometricamente,

o Método de Euler consiste em aproximar a solução em  $x_{k+1}$ , seguindo a tangente à curva integral em  $x_k$



**Exemplo:** Método de Euler

$$y' = xy, \quad y(0) = 1$$

Solução exata:  $y(x) = e^{x^2/2}$ .

$$h = 0.2$$

$k$	$x_k$	$y_k$	$y(x_k)$	Erro
1	0.2	1.000	1.020	0.020
2	0.4	1.040	1.083	0.043

$$h = 0.1$$

$k$	$x_k$	$y_k$	$y(x_k)$	Erro
1	0.1	1.000	1.005	0.005
2	0.2	1.010	1.020	0.010
3	0.3	1.030	1.046	0.016
4	0.4	1.062	1.083	0.022



## Método de Euler no MATLAB

```
function y=metEuler(f,a,b,alfa,N)
h=(b-a)/N;
x=a:h:b;
y=zeros(1,N+1);
y(1)=alfa;
for k=1:N
    y(k+1)=y(k)+h*f(x(k),y(k));
end

>> f=@(x,y) x.*y;
>> y=metEuler(f,0,0.4,1,4)

y =
1.0000 1.0000 1.0100 1.0302 1.0611
```

## Erro de discretização

### Erro de discretização local

Chama-se **erro de discretização local** no ponto  $x_{k+1}$  e denota-se por  $\mathcal{L}_h(x_{k+1})$ , ao erro produzido na aplicação do passo  $k$  do método (isto é, ao erro cometido ao passar de  $y_k$  para  $y_{k+1}$ ), *supondo que partimos da solução exata, isto é, supondo que  $y_k = y(x_k)$* . Por outras palavras,

$\mathcal{L}_h(x_{k+1})$  é a diferença entre  $y_{k+1}$  e o valor em  $x_{k+1}$  da curva integral  $x \mapsto \tilde{y}(x)$  que passa em  $(x_k, y_k)$ .

$$\left. \begin{array}{l} y \in C^2[a, b] \\ M = \max_{a \leq x \leq b} |y''(x)| \end{array} \right| \Rightarrow |\mathcal{L}_h(x_{k+1})| \leq \frac{h^2}{2} M$$

**O erro de discretização local do método de Euler é  $\mathcal{O}(h^2)$ .**

## Erro de discretização global

Chama-se **erro de discretização global** no ponto  $x_{k+1}$  e denota-se por  $\epsilon_h(x_{k+1})$  ao erro acumulado nos diversos passos até se chegar a  $y_{k+1}$ . Por outras palavras,

$\epsilon_h(x_{k+1})$  é a diferença entre  $y_{k+1}$  e o valor em  $x_{k+1}$  da curva integral  $x \mapsto y(x)$  que passa em  $(x_0, y_0)$ .

## Erro de discretização do método de Euler

Se  $y \in C^2[a, b]$ ,  $M = \max_{a \leq x \leq b} |y''(x)|$  e, além disso,  $f$  é diferenciável em relação à segunda variável com derivada parcial  $\frac{\partial f}{\partial y}$  limitada, i.e.  $|\frac{\partial f}{\partial y}| \leq L$ , então as aproximações obtidas pelo método de Euler **convergem** para a solução exata, quando  $h \rightarrow 0$  e

$$|\epsilon_h(x_{k+1})| \leq \frac{hM}{2L} (e^{(x_k - x_0)L} - 1),$$

i.e. **o erro de discretização global do método de Euler é  $\mathcal{O}(h)$ .**

## Estimativa para o erro no método de Euler

- $y_k$  aproximação para  $y(x_k)$  obtida usando passo  $h$
- $\tilde{y}_k$  aproximação para  $y(x_k)$  obtida usando passo  $2h$

**Estimativa** para o erro de discretização no ponto  $x_k$ :  
(correspondente ao uso do passo “mais fino”)

$$|\epsilon_h(x_k)| = |y(x_k) - y_k| \approx |y_k - \tilde{y}_k|$$

## Métodos baseados na série de Taylor

O método de Euler pode ser deduzido truncando a expansão em série de Taylor de  $y(x_{k+1})$  em torno de  $x_k$  antes do termo  $\mathcal{O}(h^2)$ .

Métodos de ordem superior poderiam ser obtidos de modo análogo, retendo mais termos da série de Taylor. Por exemplo, retendo os três primeiros termos da série, obtém-se o método

$$y_{k+1} = y_k + hf(x_k, y_k) + \frac{h^2}{2} \left( \frac{\partial f}{\partial x} + \frac{\partial f}{\partial y} f \right)(x_k, y_k),$$

o qual tem ordem de convergência local  $\mathcal{O}(h^3)$  e ordem de convergência global  $\mathcal{O}(h^2)$ .

Este tipo de métodos baseados na expansão em série de Taylor têm, no entanto, a desvantagem de necessitarem do **cálculo das derivadas parciais da função  $f$** , o que os pode tornar bastante trabalhosos.

## Métodos de Runge-Kutta

Os chamados métodos de Runge-Kutta foram desenvolvidos com o objetivo de produzir resultados com o mesmo grau de precisão dos métodos obtidos pela expansão em série de Taylor, mas evitando o cálculo das várias derivadas da função  $f$ .

### Método de Runge-Kutta de ordem 2

$$\begin{aligned}y_{k+1} &= y_k + \frac{1}{2}(k_1 + k_2), \\k_1 &= hf(x_k, y_k), \\k_2 &= hf(x_k + h, y_k + k_1), \\y_0 &= \alpha.\end{aligned}$$

Este método corresponde a substituir  $f(x_k, y_k)$  no método de Euler, por uma média pesada do valor de  $f$  nos pontos  $(x_k, y_k)$  e  $(x_k + 1, y_k + hf(x_k, y_k))$ .

A ordem de convergência global deste método é  $\mathcal{O}(h^2)$ .

## Método de Runge-Kutta de ordem 4

$$\begin{aligned}y_{k+1} &= y_k + \frac{1}{6}(k_1 + 2k_2 + 2k_3 + k_4), \\k_1 &= hf(x_k, y_k), \\k_2 &= hf(x_k + \frac{h}{2}, y_k + \frac{k_1}{2}), \\k_3 &= hf(x_k + \frac{h}{2}, y_k + \frac{k_2}{2}), \\k_4 &= hf(x_k + h, y_k + k_3), \\y_0 &= \alpha.\end{aligned}$$

Este método corresponde a substituir  $f(x_k, y_k)$  no método de Euler, por uma média pesada do valor de  $f$  em 4 pontos.

A ordem de convergência global deste método é  $\mathcal{O}(h^4)$ .

## Métodos de passo único

Métodos de **passo único** podem ser escritos na forma geral

$$y_{k+1} = y_k + h\phi(x_k, y_k),$$

para alguma função  $\phi$ . Nestes métodos, o passo  $k + 1$  baseia-se **apenas** no uso de informação obtida no passo  $k$ .

**Euler:**  $\phi(x, y) = f(x, y)$

**R-K ordem 2:**  $\phi(x, y) = \frac{1}{2} (f(x, y) + f(x + h, y + h(f(x, y))))$ .

Pode provar-se, sob certas condições em  $\phi$  e  $f$  que se **o erro de discretização local de um método é  $\mathcal{O}(h^p)$ , então o erro de discretização global é  $\mathcal{O}(h^{p-1})$** .



## Erros de arredondamento

$$\text{Erro} \begin{cases} \text{Erro discretização ou truncatura} \\ \text{Erro de arredondamento} \end{cases}$$

Consideremos um método de passo único da forma

$$y_{k+1} = y_k + h\phi(x_k, y_k),$$

com erro de discretização  $\mathcal{O}(h^p)$ .

$$h \text{ diminui} \begin{cases} \text{Erro discretização } \textbf{diminui} \\ \text{Erro de arredondamento } \textbf{aumenta} \end{cases}$$

Na prática, isto significa que, a partir de determinado valor do passo, os erros de arredondamento podem ser dominantes relativamente aos erros de discretização e nada se ganha com a diminuição do passo.

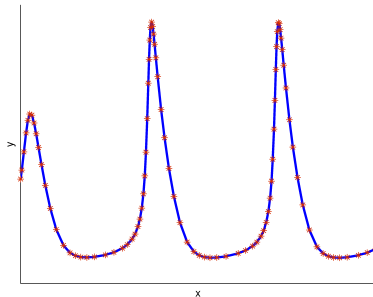
## Métodos adaptativos

Relembremos que, para o Método de Euler, o erro de discretização local satisfaz

$$|\mathcal{L}_h(x_{k+1})| \leq \frac{h^2}{2} M,$$

onde  $M = \max_{a \leq x \leq b} |y''(x)|$ .

Isto significa que o erro será, em princípio, pequeno se a segunda derivada da solução for pequena. Em regiões onde isto acontece, pode obter-se a precisão desejada, usando um valor do passo  $h$  relativamente grande. Em contrapartida, se  $M$  é grande, é necessário usar um passo mais pequeno para controlar o erro. Esta é a ideia do controle adaptativo do passo: usar uma malha que tem mais pontos ( $h$  menor) nas regiões onde a solução tiver uma variação mais rápida e menos pontos ( $h$  maior) nas zonas em que  $y$  variar lentamente.



No caso dos métodos de Runge-Kutta, a estratégia é análoga, mas devem ser tidas em linha de conta derivadas da solução de ordem superior. Note-se que, geralmente, estas derivadas não são conhecidas. No entanto, em algumas situações são conhecidas as regiões onde a solução varia mais e onde varia menos, podendo o passo ser adaptado em função desse facto.

Atualmente todos os bons códigos que usam Métodos de Runge-Kutta empregam mecanismos para automaticamente alterar o valor do passo  $h$  à medida que o processo avança.

O procedimento usual é estimar o erro de discretização local e ajustar o passo adequadamente. Há duas formas simples de o fazer:

### Processo 1

Usar um método de ordem  $p$  para calcular uma aproximação  $\tilde{y}_k$  com passo  $h$  e repetir o processo com passo  $h/2$  para obter uma outra aproximação (em princípio diferente da anterior)  $y_k$  e comparar os resultados, usando a estimativa (ver exercício),

$$|\epsilon_{h/2}(x_k)| = |y(x_k) - y_k| \approx \frac{|y_k - \tilde{y}_k|}{2^p - 1}$$

## Processo 2

Usar 2 métodos de Runge-Kutta de ordem  $p$  e  $p + 1$ : seja  $y_k$  o valor obtido com um método de ordem  $p$  e  $\bar{y}_k$  o valor obtido com um método de ordem  $p + 1$ . Então (ver exercício),

$$|\epsilon_h(x_k)| = |y(x_k) - y_k| \approx |y_k - \bar{y}_k|$$

Em ambos os casos, admitimos que pretendemos distribuir uniformemente o erro  $\epsilon$  no intervalo  $[a, b]$ . Então, se a condição  $|\epsilon_h(x_k)| \leq \epsilon h$  for verdadeira, o valor obtido usando o passo correspondente é aceite. Caso contrário, deve usar-se um passo menor.

O segundo processo não teria vantagens sobre o primeiro se não fosse possível reaproveitar os valores de  $f$  utilizados no método de ordem  $p$  para o método de ordem  $p + 1$ . Fehlberg mostrou que é possível desenvolver métodos, conhecidos como **métodos de Runge-Kutta-Fehlberg**, gozando desta propriedade.

## BS(2,3) em ode23

O MATLAB tem implementada na função `ode23` a técnica de usar um método de Runge-Kutta de ordem 3 para estimar o erro associado ao uso do método de Runge-Kutta de ordem 2. O algoritmo usado é da autoria de Bogacki-Shampine (1989) BS(2,3).

$$\begin{aligned}
 k_1 &= f(x_k, y_k), \\
 k_2 &= f\left(x_k + \frac{1}{2}h, y_k + \frac{1}{2}hk_1\right), \\
 k_3 &= f\left(x_k + \frac{2}{4}h, y_k + \frac{2}{4}hk_2\right), \\
 k_4 &= f\left(x_k + h, y_k + \frac{2}{9}hk_1 + \frac{1}{3}hk_2 + \frac{4}{9}hk_3\right),
 \end{aligned}$$

$k_4$  pode ser reutilizado no passo seguinte

$$\begin{aligned}
 y_{k+1} &= y_k + \frac{7}{24}hk_1 + \frac{1}{4}hk_2 + \frac{1}{3}hk_3 + \frac{1}{8}hk_4, & \text{ordem 2} \\
 \bar{y}_{k+1} &= y_k + \frac{2}{9}hk_1 + \frac{1}{3}hk_2 + \frac{4}{9}hk_3, & \text{ordem 3}
 \end{aligned}$$

Este método precisa de 4 passos (3 avaliações da função, se o passo for aceite). Fehlberg (1979) desenvolveu o popular método F(4,5) que envolve apenas 6 passos (ver Pina, pag. 532). A função `ode45` do Matlab é baseada no algoritmo de 7 passos de Dormand e Prince (1980) DOPRI5. O passo adicional é usado para melhorar a fórmula.

**Exemplo:** Resolver o sistema

$$\begin{cases} y_1' = 1 + y_1^2 y_2 - 4y_1, & y_1(0) = 1.5 \\ y_2' = 3y_1 - y_1^2 y_2, & y_2(0) = 3 \end{cases}$$

usando a função `ode45` do Matlab.

```
>> f=@(x,y) [1+y(1)^2*y(2)-4*y(1);3*y(1)-y(1)^2*y(2)];
```

```
>> options=odeset('absTol',1e-6,'RelTol',1e-3,...
```

```
    'Stats','on');
```

```
>> [x y]=ode45(f,[0,20],[1.5;3],options);
```

```
46 successful steps
```

```
12 failed attempts
```

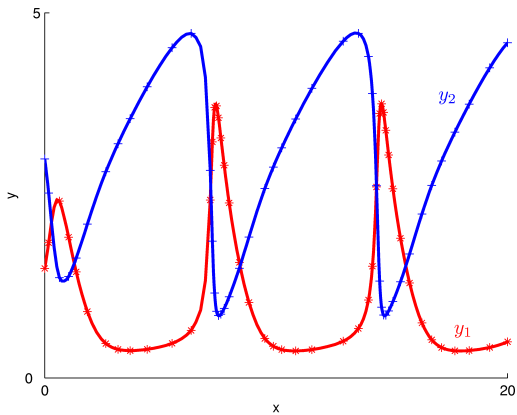
```
349 function evaluations
```

```
>> i=1:4:length(x);
```

```
>> plot(x,y(:,1),'r',x(i),y(i,1),'*r',...
```

```
    x,y(:,2),'b',x(i),y(i,2),'+b')
```





## PROBLEMAS DE VALORES DE FRONTEIRA

## Diferenças finitas para aproximar derivadas

Sejam  $x, x - h$  e  $x + h$  três pontos de um intervalo onde uma determinada função  $y$  está definida.<sup>1</sup> Consideremos as expansões em série de Taylor de  $y(x + h)$  e  $y(x - h)$  em torno de  $x$ , até à segunda ordem:

$$y(x + h) = y(x) + hy'(x) + \frac{h^2}{2}y''(\xi), \quad \xi \in (x, x + h) \quad (1)$$

$$y(x - h) = y(x) - hy'(x) + \frac{h^2}{2}y''(\mu), \quad \mu \in (x - h, x) \quad (2)$$

De (1) decorre de imediato que

$$\frac{y(x + h) - y(x)}{h} = y'(x) + \frac{h}{2}y''(\xi), \quad \xi \in (x, x + h).$$

---

<sup>1</sup> No que se segue, admitimos sempre que a função em causa tem tantas derivadas contínuas quanto necessário.

Temos, então

$$y'(x) = \frac{y(x+h) - y(x)}{h} - \frac{h}{2}y''(\xi) = \frac{y(x+h) - y(x)}{h} + \mathcal{O}(h). \quad (3)$$

Assim, se  $h$  for pequeno, poderemos aproximar a derivada de  $y$  no ponto  $x$  pela combinação linear dos valores de  $y$  em  $x$  e  $x+h$  dada por

$$\frac{y(x+h) - y(x)}{h}. \quad (4)$$

Essa expressão é conhecida por **diferença finita progressiva de 1ª ordem** para aproximar  $y'(x)$ . De modo análogo se define a **diferença finita regressiva de 1ª ordem**

$$\frac{y(x) - y(x-h)}{h}, \quad (5)$$

tendo-se, naturalmente,

$$y'(x) = \frac{y(x) - y(x-h)}{h} + \mathcal{O}(h). \quad (6)$$

Se  $y$  for três vezes continuamente diferenciável em  $[x - h, x + h]$ , tem-se

$$y(x + h) = y(x) + hy'(x) + \frac{h^2}{2}y''(x) + \frac{h^3}{6}y'''(\xi_+), \xi_+ \in (x, x + h)$$

$$y(x - h) = y(x) - hy'(x) + \frac{h^2}{2}y''(x) - \frac{h^3}{6}y'''(\xi_-), \xi_- \in (x - h, x)$$

Subtraindo membro a membro, vem

$$y(x + h) - y(x - h) = 2hy'(x) + \frac{h^3}{3} \left( \frac{y'''(\xi_+) + y'''(\xi_-)}{2} \right).$$

Sendo  $y'''$  contínua, a média dos valores  $y'''(\xi_+)$  e  $y'''(\xi_-)$  será igual a  $y'''(\xi)$  para algum  $\xi \in (x - h, x + h)$ . Tem-se, assim, a seguinte fórmula, conhecida por **diferença finita centrada de segunda ordem para aproximar  $y'(x)$** :

$$\begin{aligned} y'(x) &= \frac{y(x + h) - y(x - h)}{2h} - \frac{h^2}{6}y'''(\xi) \\ &= \frac{y(x + h) - y(x - h)}{2h} + \mathcal{O}(h^2). \end{aligned} \tag{7}$$

Fórmulas de diferenças finitas para aproximar outras derivadas de  $y$  podem ser obtidas de modo análogo. Em particular, tem-se a seguinte **fórmula centrada (de segunda ordem) para aproximar  $y''(x)$** :

$$y''(x) = \frac{y(x+h) - 2y(x) + y(x-h)}{h^2} + \mathcal{O}(h^2). \quad (8)$$

## Problemas de Valores de Fronteira (PVF)

Consideremos, agora, uma equação diferencial de 2<sup>a</sup> ordem **linear** da forma

$$y''(x) + p(x)y'(x) + q(x)y(x) = r(x), \quad x \in [a, b], \quad (9)$$

com  $p, q$  e  $r$  funções contínuas em  $[a, b]$ , sujeita a condições de fronteira do tipo<sup>2</sup>

$$y(a) = \alpha, \quad y(b) = \beta. \quad (10)$$

As equações (9) e (10) definem um **problema de valores de fronteira (PVF)** para a função incógnita  $y$ , para a qual se pretende obter uma solução aproximada, numericamente.

**Nota:** No que se segue, suporemos sempre que a solução  $y$  existe, é única e suficientemente diferenciável em  $[a, b]$ .

---

<sup>2</sup>Condições de fronteira mais gerais serão consideradas posteriormente.

## Método de diferenças finitas

O método que vamos descrever para a resolução do PVF (9)-(10) é chamado um **método de diferenças finitas**, pois baseia-se no uso de fórmulas de diferenças finitas para aproximar as derivadas envolvidas em (9).

Dividamos o intervalo  $[a, b]$  em  $N$  subintervalos de igual amplitude  $h$ , pela introdução de  $N + 1$  nós, i.e. sejam

$$x_k = a + (k - 1)h; k = 1, \dots, N + 1; h = \frac{b - a}{N}. \quad (11)$$

Os nós  $x_1 = a$  e  $x_{N+1} = b$  são ditos **nós fronteiros**, sendo os restantes chamados **nós interiores**.



Em cada nó interior a equação diferencial

$$y''(x) + p(x)y'(x) + q(x)y(x) = r(x)$$

tem de ser satisfeita, isto é, tem-se

$$y''(x_k) + p(x_k)y'(x_k) + q(x_k)y(x_k) = r(x_k); \quad k = 2, \dots, N. \quad (12)$$

Se substituirmos as derivadas envolvidas na equação anterior por fórmulas de diferenças centradas (de 2ª ordem), vem

$$\begin{aligned} \frac{y(x_{k+1}) - 2y(x_k) + y(x_{k-1}))}{h^2} + p(x_k) \frac{y(x_{k+1}) - y(x_{k-1}))}{2h} + \\ + q(x_k)y(x_k) = r(x_k) + \mathcal{O}(h^2); \quad k = 2, \dots, N. \end{aligned}$$

Aproximações  $y_k$  para  $y(x_k)$  poderão ser obtidas das equações anteriores “ignorando” os termos  $\mathcal{O}(h^2)$ , isto é, de

$$\frac{y_{k+1} - 2y_k + y_{k-1}}{h^2} + p(x_k) \frac{y_{k+1} - y_{k-1}}{2h} + q(x_k)y_k = r(x_k);$$

$$k = 2, \dots, N, \quad (13)$$

sendo os valores  $y_1$  e  $y_{N+1}$  conhecidos, das condições de fronteira:

$$y_1 = y(x_1) = \alpha, \quad y_{N+1} = y(x_{N+1}) = \beta. \quad (14)$$

As equações (13) podem reescrever-se como

$$\underbrace{\left(1 - \frac{h}{2}p(x_k)\right)}_{a_k} y_{k-1} + \underbrace{(-2 + h^2q(x_k))}_{d_k} y_k + \underbrace{\left(1 + \frac{h}{2}p(x_k)\right)}_{c_k} y_{k+1} = \underbrace{h^2r(x_k)}_{b_k};$$

$$k = 2, \dots, N. \quad (15)$$

Estas equações, juntamente com (14), constituem um sistema linear de  $N - 1$  equações nas  $N - 1$  incógnitas  $y_2, \dots, y_N$ , o qual pode ser escrito na forma matricial

$$T\mathbf{y} = \mathbf{b},$$

onde:

- $T$  é a matriz tridiagonal

$$T = \begin{pmatrix} d_2 & c_2 & & & \\ a_3 & d_3 & c_3 & & \\ & \ddots & \ddots & \ddots & \\ & & a_{N-1} & d_{N-1} & c_{N-1} \\ & & & a_N & d_N \end{pmatrix},$$

em que

$$a_k = 1 - \frac{h}{2} p(x_k), \quad d_k = -2 + h^2 q(x_k), \quad c_k = 1 + \frac{h}{2} p(x_k),$$

- $\mathbf{y} = (y_2, \dots, y_N)^T$
- $\mathbf{b} = (h^2 r(x_2) - a_2 \alpha, h^2 r(x_3), \dots, h^2 r(x_{N-1}), h^2 r(x_N) - c_N \beta)^T$ .

O método que descrevemos é chamado **método das diferenças finitas de 2ª ordem** para resolver o PVF considerado.

**Exemplo:** Considere-se o seguinte PVF

$$\begin{cases} y''(x) + y'(x) - xy(x) = -xe^{2-x}, & x \in [1, 2], \\ y(1) = e, \\ y(2) = 1. \end{cases}$$

Vamos determinar a solução numérica para este problema, usando o método das diferenças finitas de 2ª ordem, com passo  $h = 0.25$ .

Tem-se, neste caso,  $p(x) = 1$ ,  $q(x) = -x$  e  $r(x) = -xe^{2-x}$ . Então, as três equações correspondentes aos nós interiores são

$$(1 - \frac{h}{2})y_{k-1} + (-2 - h^2 x_k)y_k + (1 + \frac{h}{2})y_{k+1} = -h^2(x_k e^{2-x_k}); k = 2, 3, 4,$$

ou seja, são, atendendo a que  $x_2 = 1.25$ ,  $x_3 = 1.5$ ,  $x_4 = 1.75$  e  $h = 0.25$ :

Por uma questão de simplicidade, trabalharemos com 4 c.d.

$$\begin{cases} 0.8750y_1 - 2.0781y_2 + 1.1250y_3 = -0.1654 \\ 0.8750y_2 - 2.0938y_3 + 1.1250y_4 = -0.1546 \\ 0.8750y_3 - 2.1094y_4 + 1.1250y_5 = -0.1404 \end{cases} .$$

Substituindo  $y_1 = 2.7183$  (aproximação para  $y(1) = e$  com 4 c.d. de precisão) na primeira equação e  $y_5 = 1$  na terceira, obtém-se o seguinte sistema nas incógnitas

$y_2, y_3, y_4$

$$\begin{cases} -2.0781y_2 + 1.1250y_3 = -2.5439 \\ 0.8750y_2 - 2.0938y_3 + 1.1250y_4 = -0.1546 \\ 0.8750y_3 - 2.1094y_4 = -1.2654 \end{cases} ,$$

o qual pode escrever-se matricialmente como  $T\mathbf{y} = \mathbf{b}$ , onde

$$T = \begin{pmatrix} -2.0781 & 1.1250 & 0 \\ 0.8750 & -2.0938 & 1.1250 \\ 0 & 0.8750 & -2.1094 \end{pmatrix},$$

$$\mathbf{y} = (y_2, y_3, y_4)^T \text{ e } \mathbf{b} = (-2.5439, -0.1546, -1.2654)^T.$$

Resolvendo o sistema anterior, obtém-se

$$\mathbf{y} = (2.1162, 1.6478, 1.2834)^T.$$

A solução analítica do problema é  $y(x) = e^{2-x}$ , pelo que, nos pontos considerados, tem-se (com 4 c.d.):

$$\mathbf{y}_{\text{exato}} = (2.1170, 1.6487, 1.2840)^T.$$

### Exemplo: [Resolução em Matlab]

Apresenta-se de seguida uma sequência de instruções em Matlab para resolver o problema anterior (a qual poderá adaptar-se facilmente para a resolução de problemas análogos).

```
>> p = @(x) 1; q = @(x) -x; r = @(x) -x.*exp(2-x);  
>> h = 0.25;  
>> x = 1:h:2; N = length(x)-1;  
>> alfa = exp(1); beta = 1;  
>> a=zeros(size(x));  
>> b=a; c=a;d=a;
```

```
>> for k=2:N
a(k) = 1-(h/2)*p(x(k));
d(k) = -2+h^2*q(x(k));
c(k) = 1+(h/2)*p(x(k));
b(k) = h^2*r(x(k));
end
>> av = a(3:N); dv = d(2:N); cv = c(2:N-1);
>> T=diag(dv)+diag(av,-1)+diag(cv,1)
```

```
T =
-2.0781    1.1250     0
 0.8750   -2.0938    1.1250
 0         0.8750   -2.1094
```



```
>> b(2) = b(2) -a(2)*alfa;
```

```
>> b(N)= b(N)-c(N)*beta;
```

```
>> bv=b(2:N)'
```

```
bv =  
-2.5439  
-0.1546  
-1.2654
```

```
>> y=(T\bv)'
```

```
y=  
2.1162    1.6478    1.2834
```

```
>> yanal=@(x) exp(2-x);
```

```
>> yexato=yanal(x(2:N))
```

```
yexato= =  
2.1170    1.6487    1.2840
```

## Condições de fronteira envolvendo derivadas

Para ilustrar a aplicação de métodos de diferenças finitas para problemas cujas condições de fronteira não sejam tão simples como as condições (10), considere-se, por exemplo, um problema do tipo

$$\left\{ \begin{array}{l} y''(x) + p(x)y'(x) + q(x)y(x) = r(x), \quad x \in [a, b], \\ y'(a) = \gamma, \\ y(b) = \beta. \end{array} \right.$$

Supondo que são usadas as mesmas fórmulas de diferenças finitas, teremos então as mesmas equações (15) para obter  $y_2, y_3, \dots, y_N$ .

A diferença agora, é que o valor de  $y_1$  na primeira equação não é conhecido da condição de fronteira em  $x = a$ , sendo portanto uma nova incógnita a determinar.

Uma primeira possibilidade será aproximar condição de fronteira em  $a$ ,  $y'(a) = \gamma$ , usando a fórmula de diferenças progressiva, obtendo, então uma nova equação

$$\frac{y_2 - y_1}{h} = \gamma,$$

a qual, adicionada às  $N - 1$  equações (15), permitirá determinar as  $N$  incógnitas  $y_1, \dots, y_N$ .

Note-se, no entanto, que

$$\frac{y(x_2) - y(x_1)}{h} = y'(x_1) + \mathcal{O}(h),$$

ou seja, esta fórmula tem ordem de precisão inferior às fórmulas usadas nos restantes pontos.

Se introduzirmos a notação  $x_0 = x_1 - h = a - h$ , tem-se, usando a forma centrada de 2ª ordem:

$$\frac{y(x_2) - y(x_0)}{2h} = y'(x_1) + \mathcal{O}(h^2).$$

Assim, para que seja usada uma fórmula na fronteira com a mesma ordem de precisão ( $\mathcal{O}(h^2)$ ) das usadas nos restantes pontos, dever-se-á usar esta última fórmula.

Nesse caso, obter-se-á uma nova equação

$$y_2 - y_0 = 2h\gamma, \tag{16}$$

a qual envolve, no entanto, uma nova incógnita  $y_0 \approx y(x_0)$ .

Uma equação adicional para (juntamente com as  $N - 1$  equações (15) e a equação (16)) permitir determinar  $y_0, y_1, \dots, y_{N-1}$  pode ser obtida aproximando também a equação diferencial no ponto fronteiro  $x_1 = a$ , isto é, exigindo que

$$\frac{y_2 - 2y_1 + y_0}{h^2} + p(x_1)\frac{y_2 - y_0}{2h} + q(x_1)y_1 = r(x_1),$$

o que corresponde à equação

$$\underbrace{\left(1 - \frac{h}{2}p(x_1)\right)}_{a_1} y_0 + \underbrace{(-2 + h^2q(x_1))}_{d_1} y_1 + \underbrace{\left(1 + \frac{h}{2}p(x_1)\right)}_{c_1} y_2 = \underbrace{h^2r(x_1)}_{b_1} \quad (17)$$

**Exemplo:** Considere-se agora o seguinte PVF, análogo ao anterior, mas em que a condição de fronteira no ponto  $x = 1$  envolve o valor de  $y'$ :

$$\begin{cases} y''(x) + y'(x) - xy(x) = -xe^{2-x}, & x \in [1, 2], \\ y'(1) = -e, \\ y(2) = 1. \end{cases}$$

Determinemos a solução numérica para este problema, usando novamente o método das diferenças finitas de 2ª ordem, com passo  $h = 0.25$ .

Temos as mesmas equações resultantes dos nós interiores

$$\begin{cases} 0.8750y_1 - 2.0781y_2 + 1.1250y_3 = -0.1654 \\ 0.8750y_2 - 2.0938y_3 + 1.1250y_4 = -0.1546 \\ 0.8750y_3 - 2.1094y_4 + 1.1250y_5 = -0.1404 \end{cases}.$$

Substituindo  $y_5 = 1$  na última equação, obtém-se

$$0.875y_3 - 2.1094y_4 = -1.2654.$$

Da condição de fronteira em  $x = 1$ , vem

$$\frac{y_2 - y_0}{2h} = -2.7183 \iff y_2 - y_0 = -1.3591.$$

Além disso, a equação relativa a  $x_1$  é:

$$0.8750y_0 - 2.0625y_1 + 1.1250y_2 = -0.1699.$$

Tem-se, então, o sistema  $T\mathbf{y} = \mathbf{b}$ , onde  $\mathbf{y} = (y_0, y_1, \dots, y_4)^T$ ,

$$T = \begin{pmatrix} -1 & 0 & 1 & 0 & 0 \\ 0.8750 & -2.0625 & 1.1250 & 0 & 0 \\ 0 & 0.8750 & -2.0781 & 1.1250 & 0 \\ 0 & 0 & 0.8750 & -2.0938 & 1.1250 \\ 0 & 0 & 0 & 0.8750 & -2.1094 \end{pmatrix}$$

e

$$\mathbf{b} = (-1.3591, -0.1699, -0.1654, -0.1546, -1.2654)^T.$$

Resolvendo esse sistema, obtém-se

$$\mathbf{y} = (3.4651, 2.7011, 2.1060, 1.6423, 1.2811)^T.$$

A solução analítica do problema é a mesma do problema anterior, ou seja, é

$y(x) = e^{2-x}$ , pelo que, nos pontos considerados, tem-se (com 4 c.d.):

$$\mathbf{y}_{\text{exato}} = (3.4903, 2.7183, 2.1170, 1.6487, 1.2840)^T.$$



### Exemplo: [Resolução em Matlab]

```
>> p = @(x) 1; q = @(x) -x; r = @(x) -x.*exp(2-x);  
>> h = 0.25; x = 1:h:2; N = length(x)-1;  
>> gama= -exp(1); beta = 1;  
>> a = zeros(size(x));  
>> b=a;c=a;d=a;  
>> for k = 1:N % Note-se que aqui k começa em 1  
a(k) = 1-(h/2)*p(x(k));  
d(k) = -2+h^2*q(x(k));  
c(k) = 1+(h/2)*p(x(k));  
b(k) = h^2*r(x(k));  
end
```

```
>> av = a(2:N); % Notar que os indices vão de 2 a N
>> dv = d(1:N); % Notar que os indices vão de 1 a N
>> cv = c(1:N-1); % Notar que os indices vão de 1 a N-1
>> T = zeros(5);
>> ST = diag(dv)+diag(av,-1)+diag(cv,1); % Submatriz de T
>> T(2:end,2:end)=ST;
>> T(1,1) = 1; T(1,3) = -1; T(2,1) = a(1);
>> T
```

```
T =
1.0000    0    -1.0000    0    0
0.8750   -2.0625    1.1250    0    0
0         0.8750   -2.0781    1.1250    0
0         0         0.8750   -2.0938    1.1250
0         0         0         0.8750   -2.1094
```

```
>> b(N) = b(N)-c(N)*beta;
```

```
>> bv = b(1:N)';
```

```
>> bv = [2*h*gama;bv]
```

```
bv =  
-1.3591  
-0.1699  
-0.1654  
-0.1546  
-1.2654
```

```
>> y=(T\bv)'
```

```
y =  
3.4651      2.7012      2.1060      1.6423      1.2812
```

```
>> yanal = @(x) exp(2-x);
```

```
>> xExt = [1-h, x(1:end-1)];
```

```
>> yexato = yanal(xExt)
```

```
yexato =  
3.4903      2.7183      2.1170      1.6487      1.2840
```